高效液相色谱内标法测定15-羟基十五烷酸的含量

刘源源,韩丽丽,江菲菲,彭阳峰^{*} (华东理工大学化工学院,上海 200237)

摘 要: 用液相色 谱内标法定量分析 15-羟基十五烷酸。样品以 $C_{18}(4.6\times250~\text{mm})$ 为色谱柱,以 十四酸为内标物,流动相为甲醇: 乙腈: 水= 80: 5: 15(0.1%=氟乙酸),流速: 1.2~mL/min, 检测波长为 210~nm。结果表明在实验范围内,方法的相关性好(r>0.9990),样品测定的相对标准偏差 RSD<1%, 加标回收率为 100.36%, 检出限为 7.29×10^{-4} g/($s\cdot L$)。

关键词: 15-羟基十五烷酸; 十四酸; 高效液相色谱; 内标法

中图分类号: 0 657.7⁺2 文献标志码: A

文章编号: 0367-6358(2011)11-065403

Determination of 15-Hydrocypentacecoic Acid by HPLC Method

LIU Yuan-yuan, HAN Li-li, JIANG Fei-fei, PENG Yang-feng*
(East China University of Science and Technology, Shanghai 200237, China)

Abstract: The method of high performance liquid chromatography (HPLC) with internal standard was applied to the quantitative analysis of 15- hydrocypentacecoic acid. C_{18} (4. 6×250 mm) was used and myristic acid was the internal standard. The mobile phase was a mixture of methanol, acetonitrile and water (80: 5: 15, 0. 1% trifluoroacetic acid), the flow rate was 1. 2 mL/min and UV detection was performed at 210 nm. Using this method, the desired relativity (r > 0.999) and repeatability (RSD< 1%) were obtained, the average recovery rate was 100.36% and the sensitivity was 7.29×10⁻⁴ g/(s• L).

Key words: 15 hydrocypentacecoic acid; myristic acid; HPLC; internal standard

麝香芳香宜人,香味持久,是一种名贵的动物香料。由于天然麝香来源有限,因此合成麝香的研究与应用一直受到重视。环十五内酯是其中最重要的人工合成的巨环麝香,其香气优雅,接近于天然麝香,目前没发现有安全和环保问题,因而近来受到特别重视[1]。

环十五内酯 (Cyclopentadecanolide) 又名黄蜀葵素, 天然的环十五内酯存在于当归根精油中, 自然界中的含量极微, 提取很困难。已经报道过的合成环十五内酯方法有很多^[2~4], 但随着发酵法生产 1, 15-十五碳二元酸技术的工业化^[5], 以 1, 15-十五碳二元酸为起始原料合成环十五内酯, 最具有工业应用前景。在该路线中, 中间产物 15-羟基十五烷酸

(其中含有部分 1, 15-十五碳二元酸)是其中最关键的中间体,为寻找最佳的工艺条件,必须解决 15-羟基十五烷酸的含量分析。

虽然文献报道了以月桂酸为内标物的 1, 15-十五碳二元酸的分析方法^[6], 但实践表明由于实验和工业制备的 15-羟基十五烷酸中存在着未知物对内标物月桂酸有一定干扰, 因而限制了月桂酸为内标物在 15-羟基十五烷酸分析中的应用。本文以十四酸为内标物, 采用反相液相色谱内标法建立 15-羟基十五烷酸的定量分析方法, 可以满足小试或生产中对 15-羟基十五烷酸的分析要求。

- 1 仪器与试剂
- 1.1 仪器

收稿日期: 2011-04-13; 修回日期: 2011-08-26

作者简介: 刘源源(1984~), 男, 安徽宿州人, 硕士生, 主要从事精细化学品开发研究。* E-mail: yfpeng@yeah. net

STI 液相色谱仪(含 STI P5000 高压恒流泵和 STI UV 5000 可变波长紫外检测器)(上海禾工)。

1.2 试剂

甲醇,色谱纯(上海凌峰化学试剂有限公司);乙腈,色谱纯(上海凌峰化学试剂有限公司);三氟乙酸,十四酸,分析纯(上海晶纯试剂有限公司),15-羟基十五烷酸供试品(自制);本实验所用水均为哇哈哈纯净水(杭州娃哈哈纯净水厂)。

2 方法与结果

2.1 色谱条件

色谱柱: Kromstar[™] C₁₈ (4.6 × 250 mm); 流动相: 甲醇: 乙腈: 水= 80:5:15(0.1% 三氟乙酸); 流速:1.2 mL/min; 柱温: 室温; 检测波长:210 nm。

2.2 样品的制备

内标溶液的配制:精确称取十四酸 2.0124 g,于 100 m L 容量瓶中,加甲醇至刻度,摇匀,备用。

15- 羟基十五烷酸标准溶液配制: 精确称取 15- 羟基十五烷酸(含量 71.15%)0.5358 g,于 50 mL 容量瓶中,加甲醇至刻度,摇匀,备用。

2.3 标准曲线的绘制

分别精确量取标准样品溶液 1. 0, 2. 0, 3. 0, 4. 0, 5. 0 mL 置于 10 mL 容量瓶中, 各加入内标溶液 2. 0 mL, 加甲醇至刻度, 摇匀。每次进样 $10 \, \mu L$, 每个浓度进样 $3 \, \chi$ 。得线性关系如下:

y = 0.00272 + 0.90803x 相关系数: 0.99988 (y) 为 15-羟基十五烷酸与十四酸峰面积之比, x 为质量比率)

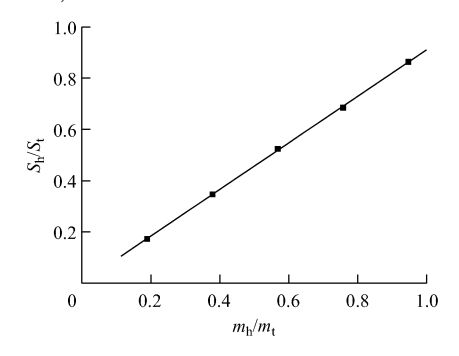


图 1 15 羟基十五烷酸标准曲线(内标法) h: 15 羟基十五烷酸: t: 十四酸

2.4 检出限

假设色谱仪最低响应值为 S=3N(N) 为仪器噪音水平),按检测限计算公式 $^{[7]}$ 得本方法 15 羟基十五烷酸检出限为 7.29×10^{-4} g/(s • L)。

2.5 精密度试验

精确量取标准15羟基十五烷酸溶液 2.0 mL

置于 10 mL 容量瓶中,精确加入内标溶液 2.0 mL,加甲醇至刻度,摇匀。每次进样 10 μL,重复 6次,计算 15-羟基十五烷酸与十四酸峰面积比,计算 RSD 为 0.22%。

2.6 方法重现性实验

取已知含量的 15-羟基十五烷酸(含少量 1,15-十五碳二元酸) 0.1453 g,又加入未知含量的 15-羟基十五酸 0.1011 g,用甲醇稀释到 25 mL,配成试样溶液备用。分别精确量取上述溶液 3,4,5 mL 于 10 mL 容瓶中,各加内标溶液 2 mL,加甲醇至刻度,摇匀,按 2.1 色谱条件测定,每次进样 10 μ L,重复 3 次,结果见表 1。结果显示,RSD <1%,重现性较好。

表 1 方法重现性实验结果(n=3)

| 样品 名称 | 平均面 积比 | 样品中 15 羟 基十五烷酸 计算浓度/ mg• mL-1 | 试样中 15-羟 基十五烷酸 计算浓度/ mg• mL-1 | 三样品平均 计算浓度/ mg• mL ⁻¹ | RSD/ |
|----------|-----------|--|--|--|-------|
| A | 0. 448 | 1. 960 | 6. 533 | | 0.41 |
| В | 0. 5955 | 2. 627 | 6. 658 | 6. 560 | 0. 12 |
| С | 0. 7447 | 3. 289 | 6. 578 | | 0. 27 |

2.7 标样的回收率测定

精确称量 0.0984 g 实验室经 2 次精制 15-羟基十五烷酸,内含少量的 1,15十五碳二元酸,用甲醇稀释到 25 mL 备用。精确量取两份 2 mL 上述溶液,分别置于 10 mL 容量瓶,再分别加入内标溶液 2 mL,在其中一容量瓶中加入已知含量 15-羟基十五烷酸,加甲醇至刻度,摇匀,按 2.1 色谱条件测定,每次进样 10 μL, 重复 3 次,结果见表 2。

表 2 标样的回收率(n=3)

| 组分 | 加入量/ mg• mL-1 | 平均实测值/ mg• mL-1 | 回收率/% |
|-----------|------------------|--------------------|---------|
| 15 羟基十五烷酸 | 3. 050 | 3. 061 | 100. 36 |

结果显示,方法回收率为 100.36%,准确度较高。

3 结果和讨论

3.1 内标物及流动相条件的确定

小试或生产中合成得到的 15 羟基十五烷酸往往含有某种杂质, 因此所选的内标物在色谱上的出峰位置要避开杂质的干扰。以月桂酸⁶¹ 为内标物容易受杂质干扰, 影响分析精度。研究发现选择十四酸作为内标物时, 其出峰时间较晚, 可以避开 15 羟基十五烷酸中可能的杂质的干扰。当选择十六酸作为内标物时, 其出峰时间太晚, 延长了不必要分析时

间,因而放异。参照文献⁶,本文以甲醇,乙腈与水的混合溶剂作为流动相,甲醇,乙腈,水的配比为80:5:15,三氟乙酸含量为0.1%,此时1,15-十五碳二元酸,15-羟基十五酸和十四酸均有较好的分离度、峰形。色谱图中,1,15-十五碳二元酸的出峰时间约为5.5 min,15-羟基十五烷酸出峰时间约为6.1 min,十四酸出峰时间约为23.2 min,而杂质的出峰时间在20 min 之前,对十四酸出峰没有影响。

3.2 检测波长的选择

甲醇作为流动相允许的最小波长为 210 nm, 而升高检测波长则 15-羟基十五烷酸, 十四酸的吸收度下降, 因而本研究将检测波长定为 210 nm。

4 结论

以十四酸为内标物,本文建立了反相高效液相色谱法测定 15-羟基十五烷酸的方法,确定的流动相为甲醇: 乙腈: 水= 80: 5: 15(0.1% 三氟乙酸),流速:1.2 mL/min,检测波长为 210 nm。该方

法的重现性好, 准确度高, 可以满足实验室研究或生产中 15- 羟基十五烷酸的测定要求, 已在实际中应用。

参考文献:

- [1] 赖 芳, 刘雄民, 李伟光, 等. 食品科学[J], 2009, 30 (10):159-161.
- [2] **熊正根,蔡**珪. 南昌大学学报[J],1993,17(2):75-78.
- [3] 黄宏妙, 沈 芳, 刘雄民, 等. 化学世界[J], 2006, 47 (8): 497-499.
- [4] 张莎莎, 冯亚青. 环十五内酯的制备工艺[D]. 天津: 天津大学, 2008.
- [5] 陈远童, 郝秀珍. 微生物学报[J], 1995, 35(6): 433-437.
- [6] 江菲菲, 彭阳峰, 童天中, 等. 香料香精化妆品[J], 2010, (5): 27-29.
- [7] 中华人民共和卫生部,中国国家标准化管理委员会. GB/T 5009. 1-2003[S].

(上接第653页)

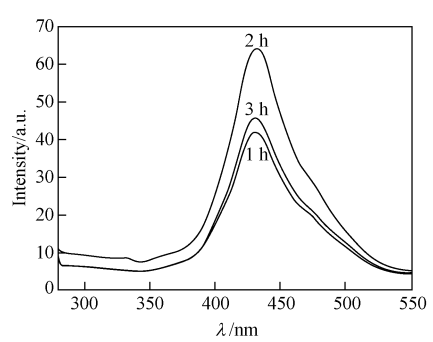


图 6 复合发光材料的光致发光光谱

3 结 论

利用超声法,以 7 羟基香豆素和 \bigvee Al₂O₃ 纳米 粉为原料,制得了荧光效率较高的复合发光材料。 红外分析结果表明, \bigvee Al₂O₃ 表面原子和 7 羟基香豆素分子之间产生了复杂的相互作用; 荧光分析发现,由于纳米 \bigvee Al₂O₃ 和 7 羟基香豆素形成化学键,复合材料的荧光强度比原料的荧光强度增强了很多,说明复合材料的发光性能和原料相比有了很大提高。另外,复合材料的荧光强度随 7 羟基香豆素溶液浓度的增加呈先增强后减弱的趋势,同时其峰位出现红移;而随超声处理时间的延长,复合材料的荧光强度也出现先增强后减弱的趋势,但峰位并未出现明显变化。

参考文献:

[1] 江 昕. 纳米氧化锆(ZrO₂)材料的发光机制及光学

特性研究[D]. 首都师范大学, 2005: 2-14.

- [2] 叶 辉,姜中宏. 材料研究学报[J], 1999, 13 (1): 68 72.
- [3] 杨 阳, 李菡滢, 陈慧兰, 等. 高等学校化学学报 [J], 2002, 23(5): 768-771.
- [4] Sanchez C, Ribot F. New J Chem [J], 1994, 18: 1007-1047.
- [5] 符连社,张洪杰. 材料科学与工程[J], 1999, 17(1): 84.88
- [6] 赵秦生, 余忠清, 张启修. 无机材料学报[J], 1994, 9 (4): 475-479.
- [7] Park Y K, Tadd E H, Zubris M, et al. Manter Res Bull[J], 1506-1512.
- [8] Kureti S, Weisweiler W. J Non-cryst Solids [J], 2002, 303: 253-261.
- [9] Kureti S, Weisweiler W. Appl Catalysis A: General [J], 2002, 225: 251-259.
- [10] 常 钢, 江祖成, 彭天右, 等. 化学学报[J], 2003, 61(1): 100-103.
- [11] 王曙光,李廷辉,赵 丹. 高等学校化学学报[J], 2003, 24(1): 95-99.
- [12] 冯青琴, 郝存江, 元炯亮,等. 离子交换与吸附[J], 2005, 21(3): 277-282.
- [13] 冯青琴, 郝存江, 元炯亮. 河南师范大学学报[J], 2004, 32(3): 61-64.
- [14] 吴志鸿. 工业催化[J], 2004, 12(2): 35-39.
- [15] 法默 V C. 矿物的红外光谱[M]. 北京: 科学出版社, 1982. 114-146.